ДИФФУЗИОННОЕ НАСЫЩЕНИЕ АЗОТОМ ПРИПОВЕРХНОСТНЫХ СЛОЕВ КОНТАКТОВ ГЕРКОНОВ В ПУЛЬСИРУЮЩЕЙ ПЛАЗМЕ

К.А. Арушанов*, И.А. Зельцер**, С.М. Карабанов, д.т.н.**, Е.Б. Трунин, к.т.н.**

* 390005, Россия, г. Рязань, ул. Гагарина, 59/1

ФГБОУ ВПО «Рязанский государственный радиотехнический университет»

** 390027, Россия, г. Рязань, ул. Новая, 51В, ОАО «РЗМКП»

Показано, что толщина азотируемого слоя может быть оценена по формуле: $t = C(P_o - P_{uno})$, где $C - \kappa$ онстанта для данного типа герконов, $P_o - \lambda$ давление газа в герконе после заварки, $P_{uno} - \lambda$ давление газа в герконе после ионно-плазменной обработки. Установлено, что пульсирующий разряд в герконе, при ионно-плазменном азотировании контакт-деталей, способствует повышению, примерно в 3 раза, подвижности атомов азота в пермаллое по сравнению с обработкой в непрерывном тлеющем разряде.

It is shown that the thickness of nitrated layer can be evaluated using the following equation: $t = C(P_o - P_{uno})$, where C is a constant for the given type of reed switches, $P_o - gas$ pressure in reed switch after sealing, $P_{uno} - gas$ pressure in reed switch after ion-plasma treatment. It has been found out that the pulsating discharge in a reed switch at ion-plasma nitriding allows to increase the mobility of the nitrogen atoms in permalloy approximately threefold as compared to the treatment in a continuous glow discharge.

1. Введение

Известно [1-3], что одним из наиболее перспективных способов повышения коррозионной и эрозионной устойчивости поверхности металлов является ионное азотирование в пульсирующей плазме тлеющего разряда. Идея применения этого метода для создания контактных поверхностей, альтернативных гальванопокрытиям из драгоценных металлов (золота, рутения, родия) герконов, впервые нашла свое экспериментальное подтверждение в работе [4]. Дальнейшее развитие она получила в цикле работ, перечень которых приведен в [5].

Целью данной работы является исследование процесса поглощения азота при проведении плазменной модификации в магнитоуправляемых герметизированных контактах (герконах).

2. Образцы и методы

Образцами являлись герконы МКА-14108, конструктивно выполненные на базе серийных приборов МКА-14103 [6]. Основная отличительная особенность конструкции этих герконов по сравнению с серийными приборами заключалась в отсутствии каких-либо специальных покрытий на пермаллоевых контактах.

Ионно-плазменная обработка (ИПО) контактных поверхностей проводилась высоковольтными импульсными разрядами. Разряды инициировались на разомкнутых контактах геркона (с раствором d=20-30 мкм) с помощью установки ионно-плазменной обработки. Длительность одной обработки составляет 30 с.

Измерения напряжения пробоя герконов и испытания на безотказность проводились с помощью специализированного оборудования [6] по методикам, представленным в [6].

Состав и давление газового наполнения геркона (до и после ИПО) определялись с помощью магнитного масс-спектрометра МИ-1201 по стандартной методике [6].

3. Результаты и обсуждения

Величина суммарного коэффициента вторичной электронной эмиссии γ оценивалась по экспериментально полученным значениям давления и напряжения возникновения разряда (напряжения пробоя) с помощью закона Пашена [7]:

$$U = \frac{B \ p \ d}{\ln(A \ p \ d) - \ln(\ln(1 + 1/\gamma))},\tag{1}$$

где U – напряжение пробоя (B), р – давление газа (Topp); d – раствор (см).

Путем решения задачи на экстремум, из соотношения (1) можно определить координаты минимума кривой Пашена [7]:

$$(pd)_m = 2,718 \ln(1+1/\gamma)/A;$$
 $U_m = B(pd)_m.$ (2); (3)

Результаты расчетов по формулам (2), (3) координат минимума кривой Пашена представлены в виде графиков на рис. 1. Здесь представлены также зависимости давления газового наполнения р, напряжения пробоя U, суммарного коэффициента вторичной электронной эмиссии γ от количества обработок п. Из рассмотрения полученных кривых видно, что давление в герконе после ИПО соответствует правой ветви кривой Пашена.

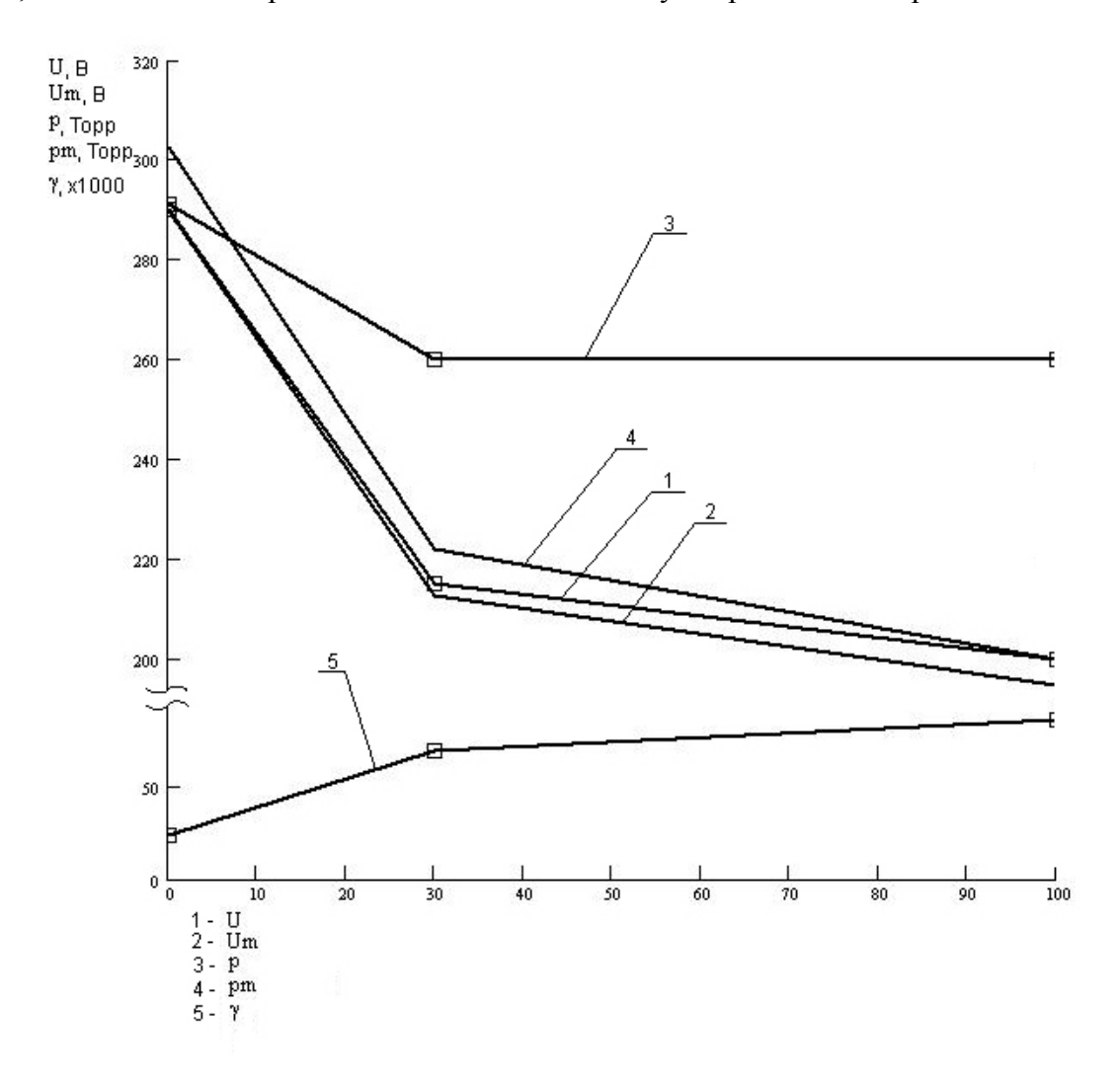


Рис. 1. Зависимости напряжения пробоя U -1, координата минимума кривой Пашена U_m - 2, давления газового наполнения P - 3, p_m - 4, суммарного коэффициента вторичной электронной эмиссии γ - 5, геркона МКА-14108 по медиане от количества обработок n

Ионно-плазменное азотирование поверхности контакт-деталей геркона происходит непосредственно внутри герметизированного баллона геркона, заполненного азотом [4, 5]. Парциальное давление азота, согласно закону сохранения материи, уменьшается. Часть атомов газообразного азота при такой обработке диффундирует в приповерхностную область контакт-деталей с образованием нитридов железа и никеля. В предположении, что расход азота связан только с формированием на контакт-деталях нитридных слоев, не сложно показать, что в этом случае толщина азотируемого слоя может быть оценена по формуле:

$$t = C(P_o - P_{\mu \Pi o}), \tag{4}$$

где $C = N_a V_r T_o a^3 / V_a P_a T_\kappa S$ – константа для данного типа герконов,

N_a – число Авогадро,

 V_{r} – объем газа в герконе (внутренний объем баллона геркона),

 $V_a = 22,4$ л – молярный объем газа,

Ро – давление газа в герконе после заварки,

 $P_a = 760$ мм рт.ст. – атмосферное давление,

Р_{ипо} – давление газа в герконе после ИПО,

а – постоянная решетки сплава внедрения,

S – площадь азотируемой поверхности контакт-детали (площадь перекрытия),

 $T_0 = 273 \text{K } (0 \, ^{\circ}\text{C}),$

T_к = 293К (20 °C), температура геркона при измерении напряжения пробоя.

Согласно закону Авогадро, один моль любого газа при одинаковых условиях занимает одинаковый объем. В частности, при нормальных условиях, т.е. при 0 °C (273 K) и 101,3 кПа, объем 1 моля газа равен 22,4 л. Этот объем называют молярным объемом газа V_a . Пересчитать эту величину на другие температуру T_κ и давление P_o можно с помощью уравнения Менделеева-Клапейрона:

$$V = V_a P_a T_K / T_o P_o. (5)$$

Тогда количества молекул азота в объеме геркона при Р = Ро, Т = Тк будет

$$N_0 = V_{\Gamma} N_a / V = P_0 V_{\Gamma} T_0 N_a / P_a V_a T_{\kappa}$$
. (6)

При ионно-плазменной обработке контакт-деталей геркона происходит диффузионное насыщение ионами азота приповерхностных слоев контакт-деталей в области их перекрытия с образованием нитридных слоев [4, 5]. При этом, согласно закону сохранения материи, количество молекул азота, находящегося в газообразном состоянии в герконе, уменьшится пропорционально уменьшению давления. Доля молекул азота (от общего их числа в герконе), расходуемых на азотирование первой контакт-детали, равна:

$$\mathbf{O} = (P_o - P_{uno}) / 2P_o. \tag{7}$$

Количество атомов азота в азотируемом слое контакт-детали

$$N_{\kappa-\pi} = 26 N_0 \tag{8}$$

или

$$N_{K-\Pi} = V_{\Gamma} T_{o} N_{a} (P_{o} - P_{H} \Pi_{o}) / P_{a} V_{a} T_{K}$$
 (9)

Количество слоев атомов азота в приповерхностной области контакт-детали будет, соответственно,

$$N_c = N_{K-II} a^2 / S.$$
 (10)

Тогда толщина азотированного слоя

$$t = N_a V_{\Gamma} T_o a^3 (P_o - P_{\text{MIIO}}) / V_a P_a T_{\kappa} S$$
 (11)

или

$$t = C(P_o - P_{\mu \Pi o}), \tag{12}$$

где

$$C = N_a V_{\Gamma} T_o a^3 / V_a P_a T_{\kappa} S. \qquad (13)$$

Исходные данные и результаты расчетов толщины азотированного слоя по формулам (12), (13) и коэффициента диффузии азота в пермаллое при ИПО по формуле

$$D = t^2/\tau \tag{14}$$

приведены в табл. 1.

Таблица 1 Исходные данные и результаты расчетов толщины азотированного слоя и коэффициента диффузии азота

№ п/п	Наименование	Обозначение, размерность	Значение параметра
1	Число Авогадро	N_a , моль ⁻¹	6.10^{23}
2	Объем газа в герконе (внутренний объем баллона геркона)	N_a , моль ⁻¹ V_Γ , м ³	29,6·10 ⁻⁹
3	Давление газа в герконе после заварки	Ро, мм рт.ст.	280
4	Температура	T _o , K a, Å	273
5	Постоянная решетки сплава внедрения		3,8 [8]
6	Молярный объем газа	V_a , M^3	$22,4\cdot10^{-3}$
7	Атмосферное давление	P _a , мм рт.ст.	760
8	Температура геркона при измерении напряжения пробоя	Τ _κ , К	293
9	Площадь азотируемой поверхности контакт-детали (площадь перекрытия)	S, m ²	0,34·10 ⁻⁶
10	Константа для данного типа герконов	С, м/мм рт.ст.	156.87·10 ⁻⁹
11	Толщина азотированного слоя	t, HM	4706
12	Продолжительность обработки	τ, c	900 (30 кратная обработка по 30 с) 2,46·10 ⁻¹⁰
13	Коэффициент диффузии азота в пермаллое при ИПО	D, cm ² /c	$2,46\cdot10^{-10}$

Значение толщины азотированного слоя $t \approx 157$ нм (для $\tau = 30$ с), полученное расчетным путем по формуле (4), соответствует значению толщины азотированного слоя, измеренной в [5] методом послойного оже-спектрального анализа (рис. 2, 3).

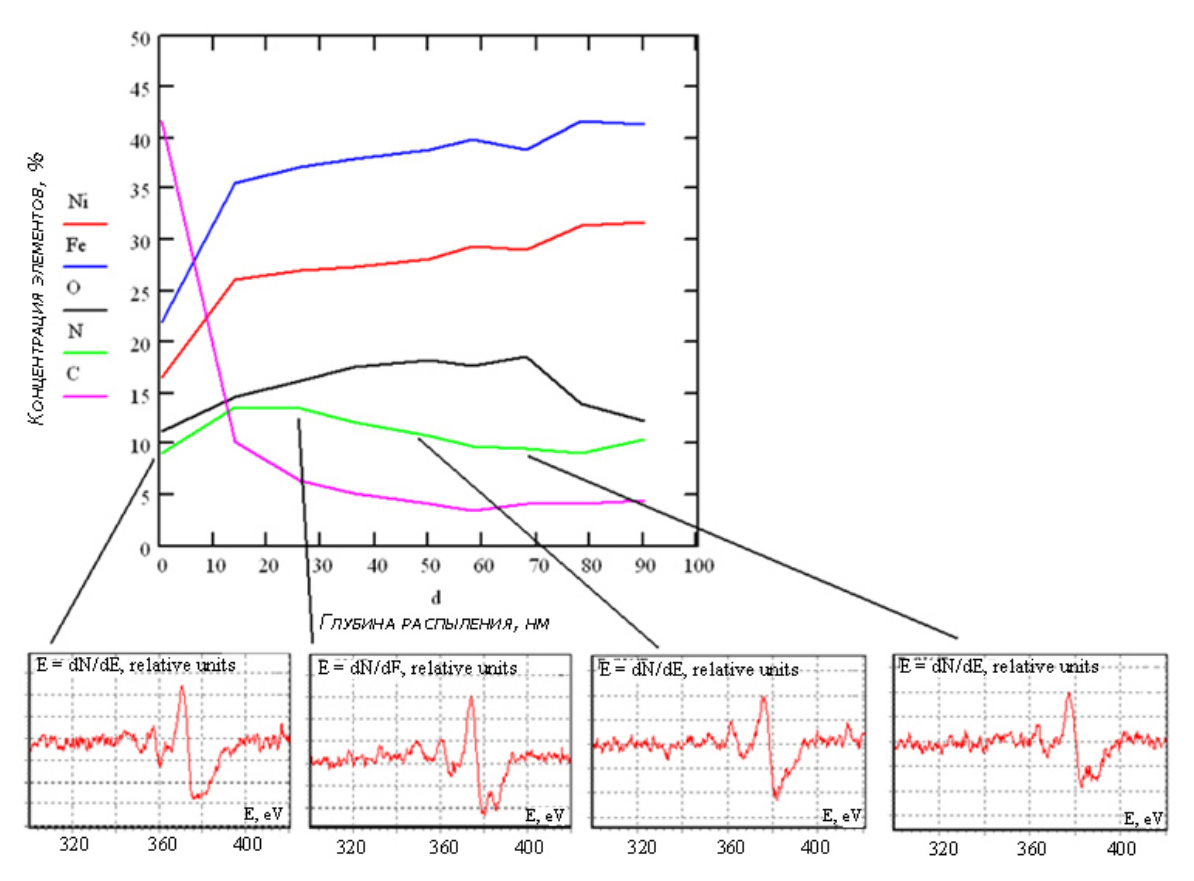


Рис. 2. Профиль распределения концентраций элементов в приповерхностной области геркона, прошедшего 1-кратную ионно-плазменную обработку и форма оже-линии азота, характерная для нитридной фазы (Е – кинетическая энергия электронов,

N – количество электронов с энергией E) [5]

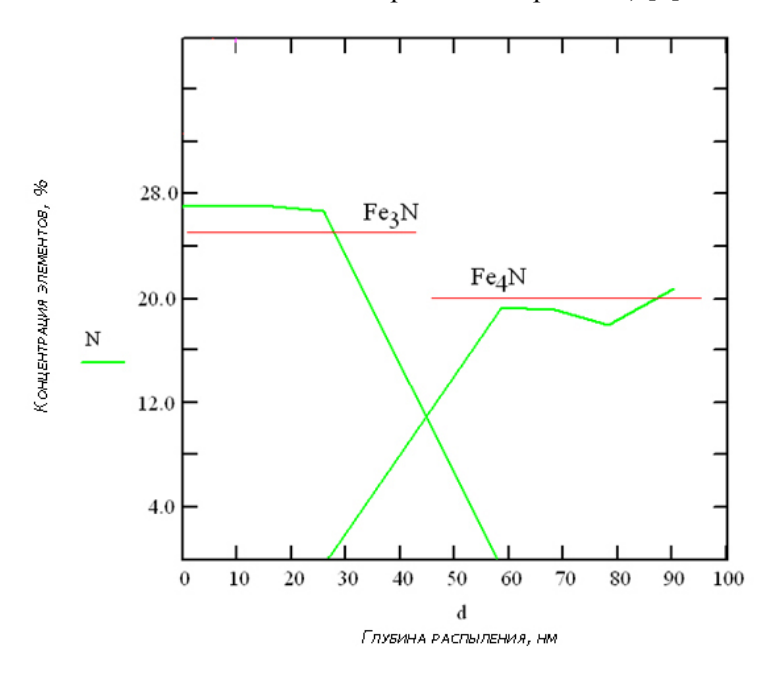


Рис. 3. Восстановленный профиль распределения фаз по глубине с указанием концентрации азота в стехиометричных соединениях Fe_3N и Fe_4N [5]

Расчетное значение коэффициента диффузии азота в пермаллое D при ИПО равно $2,46\cdot10^{-10}~{\rm cm}^2/{\rm c}$ и тоже согласуется с экспериментом [2]. Расчет коэффициентов диффузии азота в стали по экспериментальным концентрационным профилям показал, что в предварительно закаленных, отпущенных и обработанных в пульсирующей плазме образцах стали D составляет $(4-6)\cdot10^{-10}~{\rm cm}^2/{\rm c}$ [2].

4. Заключение

Сравнение полученного расчетным путем значения коэффициента диффузии $D=2,46\cdot 10^{-10}~{\rm cm}^2/{\rm c}$ с подвижностью атомов азота в железе при обработке в непрерывном тлеющем разряде [3] показало, что пульсирующий разряд в герконе способствует повышению подвижности примерно в 3 раза.

Литература

- 1. Чаттерджи-Фишер Р., Эйзелл Ф.-В. / Под ред. Супова А.В. Азотирование и карбонитрирование. М.: Металлургия, 1990. 280 с.
- 2. Лященко Б.А., Мироненко В.И., Радько О.В., Бобырь С.А. Особенности азотирования стали 30ХГСА в пульсирующем разряде. Вісник Чекаського національного університету. 2007. Вип.117. Сер. «Фізіко-математичні науки». С.107.
- 3. Герцрикен Д.С., Тышкевич В.М. Тлеющий разряд и инертные газы в металлах. Киев: Академпериодика, 2006. 280 с.
- 4. Зельцер И.А., Карабанов С.М., Майзельс Р.М., Моос Е.Н., Саблин В.А. // Сборник трудов второй Международной научно-практической конференции «Магнитоуправляемые контакты (герконы) и изделия на их основе», Рязань: Полиграф, 2009. С. 174.
- 5. Karabanov S.M., Zeltser I.A., Maizels R.M., Moos E.N. Arushanov K.A. Journal of Physics: Conference Series, 2011. V. 291. № 01 2020. P. 1.
- 6. Карабанов С.М., Майзельс Р.М., Шоффа В.Н. Магнитоуправляемые герметизированные контакты (герконы) и изделия на их основе. М.: Интеллект, 2011. 408 c.
- 7. Энгель А. Ионизованные газы. М.: Физико-математическая литература, 1959. 332 с.
- 8. Гольдшмидт X. Дж. Сплавы внедрения. M.: Мир, 1971, Вып.1. 424 с.